

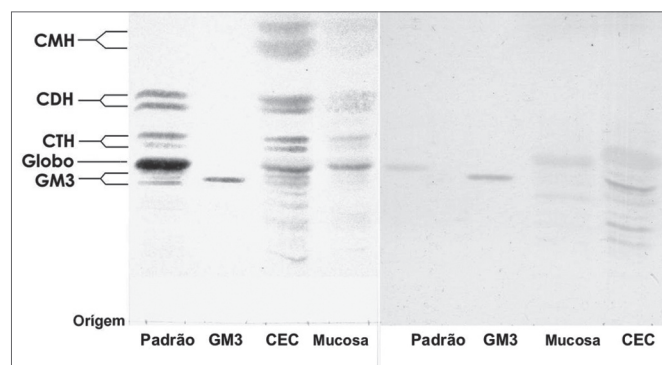
# ERRATA

VOLUME 72 EDIÇÃO 1 - Jan/Fev 2006

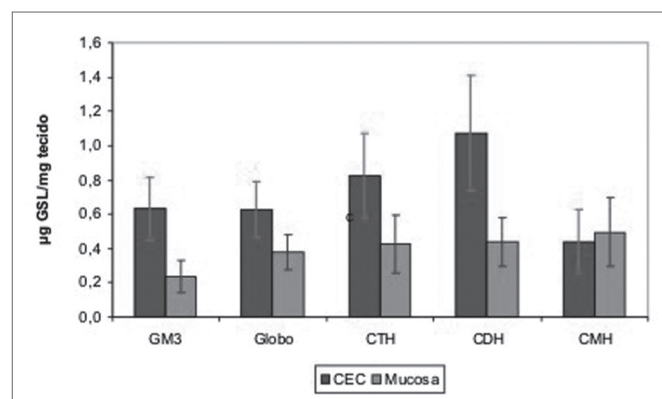
**Expressão de glicoesfingolípideos no carcinoma espinocelular do trato aerodigestivo superior**  
**Glycosphingolipid expression in squamous cell carcinoma of the upper aerodigestive tract**

Marcelio Ferreira Marques Filho • Fernando Walder  
 • Helio K. Takahashi • Luciana L. Guimarães • Ameria K. Tamaka • Onivaldo Cervantes • Anita H. Straus

Correção das legendas das imagens



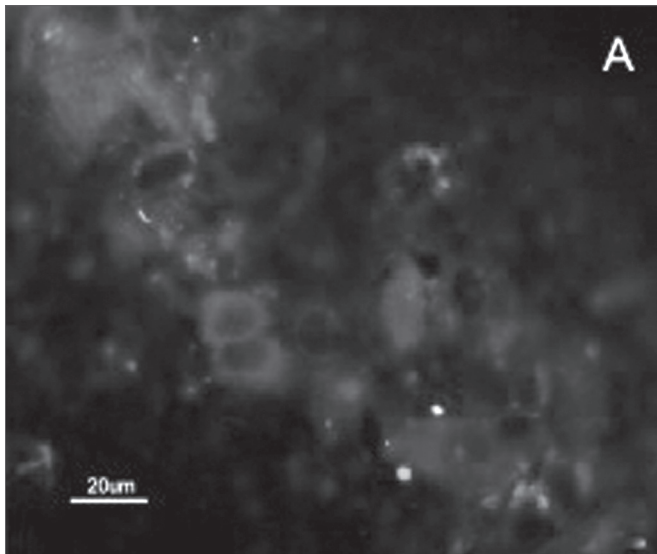
**Figura 1.** Lâmina de HPTLC corada com orcinol/H<sub>2</sub>SO<sub>4</sub>. (esquerda) e (direita) HPTLC corada com resorcinol. Padrão - Padrão de GSLs de eritrócitos. GM3 - Padrão de GM3 (Sigma®). CEC - GSLs do CEC. Mucosa - GSLs da mucosa normal.



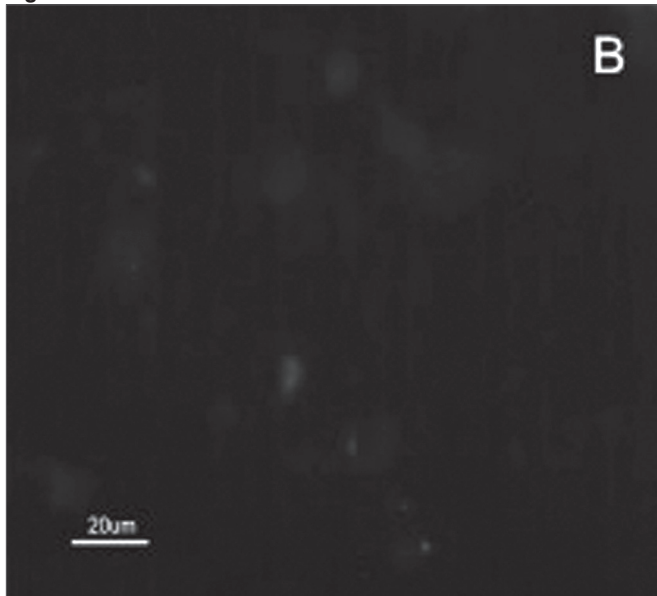
**Gráfico 1.** Média da quantidade de GSL no CEC e mucosa do trato aerodigestivo superior

**Tabela 1.** Relação entre as quantidades médias de GSL totais no CEC em relação a mucosa normal do trato aerodigestivo superior

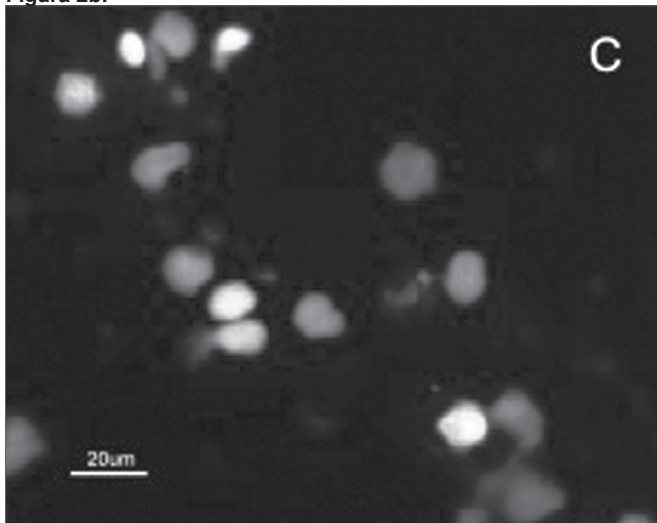
Estatísticas	CEC μg GSL/mg Tecido	Mucosa μg GSL/mg Tecido	Teste t (p)
Média	3,57	1,92	
Desvio-padrão	2,35	1,54	0,001 *
n	33	33	



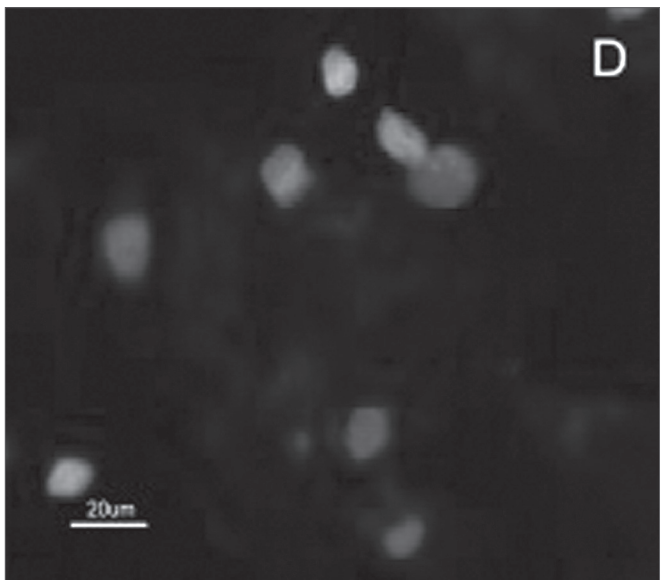
**Figura 2a.**



**Figura 2b.**



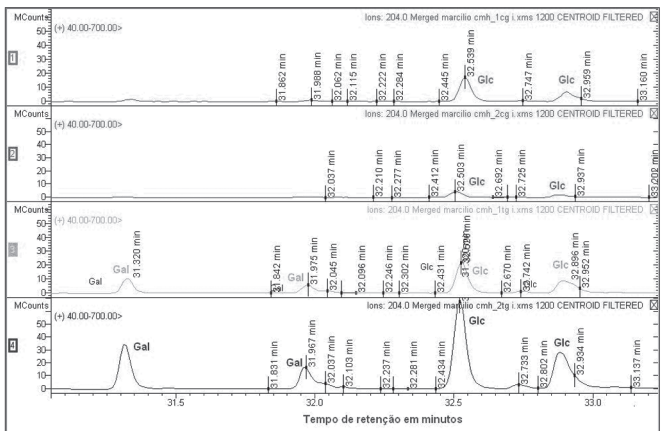
**Figura 2c.**



**Figura 2d.**

**Figura 2.** Fotomicrografia de imunofluorescencia indireta onde percebe-se a diferença de reatividade das células de CEC em comparação com as células da mucosa normal ao MoAb DH2 (AntiGM3).

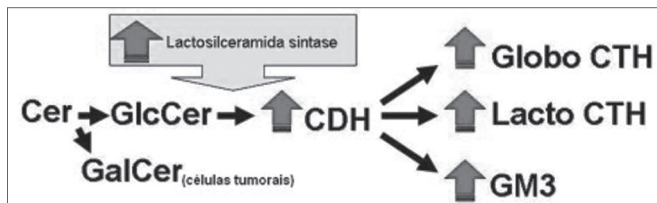
- A. células de CEC imunocoradas com DH2 (verde).
- B. células da mucosa normal marcadas com DH2 (verde).
- C. núcleo das células de CEC coradas com DAPI (azul).
- D. núcleo das células da mucosa normal coradas com DAPI (azul).



**Figura 3.** Espectrometria de massa dos CMHs.

Os traçados superiores (A e B) mostram a identificação dos resíduos de açúcar da fração do CMH da mucosa do trato aerodigestivo superior. Os traçados C e D correspondem a identificação dos resíduos de açúcar da fração CMH do CEC.

Gal – galactose, Glc – glucose



**Figura 4.** Esquema proposto da via de síntese dos gangliosídeos para explicar o aumento da expressão de GSLs no CEC do trato aerodigestivo superior. A maior atividade da lactosilceramida sintase aumentaria a expressão do GM3, CTH e CDH e consequentemente reduziria a oferta de Glc para síntese do GlcCer necessitando as células do CEC utilizar Gal para produzir GalCer e manter a estrutura da membrana celular.

VOLUME 72 EDIÇÃO 4 - Jul/Ago 2006

#### Distonia laríngea de adução: proposta e avaliação de protocolo de nasofibrolaringoscopia

Adduction laryngeal dystonia: proposal and evaluation of nasofibroscopy

Noemi Grigoletto De Biase • Paula Lorenzon • Mariana Dantas Aumont Lebl • Marina Padovani • Ingrid Gielow • Glaucya Madazio • Miriam Moraes

Correção da titulação da autora Miriam Moraes.

<sup>7</sup> Fonoaudióloga especializada em voz pelo CEV - Centro de Estudos da Voz. Fonoaudióloga colaboradora do Setor de Laringe e Voz.